

21. El Telbany M. M. M., Reynolds A. J. Turbulence in plane channel flows // J. Fluid Mech.— 1981.— V. 111.— P. 283.
 22. Kim J., Moin P., Moser R. Turbulence statistics in fully developed channel flow at low Reynolds number // J. Fluid Mech.— 1987.— V. 177.— P. 133.

Поступила 26/VIII 1988 г.

УДК 532.525.3—191.44

ОПРЕДЕЛЕНИЕ ОСНОВНЫХ ПАРАМЕТРОВ ТЕЧЕНИЯ В ЦЕНТРОБЕЖНОЙ ФОРСУНКЕ С ПОМОЩЬЮ ЗАКОНОВ СОХРАНЕНИЯ

Б. А. Луговцов

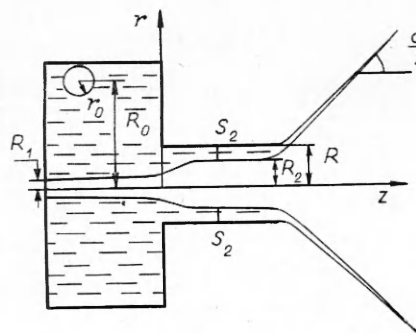
(Новосибирск)

В настоящее время для расчета основных параметров течения в центробежных форсунках широко применяется предложенный Г. Н. Абрамовичем [1, 2] принцип максимального расхода (ПМР). В данной работе показано, что для центробежной форсунки специальной формы (форсунка с насадком Борда) в рамках модели идеально несжимаемой жидкости основные параметры течения определяются точно с помощью законов сохранения. Сравнение точных результатов с полученными на основе ПМР обнаруживает заметное их различие.

Схема центробежной форсунки и картина течения в ней приведены на рис. 1. Жидкость, протекающая через форсунку, подается в камеру закручивания по тангенциальным цилиндрическим каналам радиуса r_1 оси которых смещены относительно оси форсунки, совпадающей с осью z цилиндрической системы координат, на расстояние R_0 и расположены в плоскости, перпендикулярной к оси z . Жидкость приобретает осевой момент импульса, и возникает интенсивное вращательное движение. На осевой линии форсунки образуется полый вихрь, имеющий радиус R_1 на задней стенке камеры закручивания и радиус R_2 на прямолинейном участке сопла, где поток выравнивается (осевая компонента скорости не зависит от z). Давление p на границе полости принимает постоянное значение, которое можно считать равным нулю. При выходе из сопла (насадка) радиуса R жидкость разлетается, образуя факел распыла с углом α . Фактически пленка жидкости распадается на капли, размер которых в значительной степени зависит от толщины слоя жидкости δ на прямолинейном участке сопла. δ определяется коэффициентом заполнения сопла $\phi = 1 - (R_2/R)^2$.

Основные параметры течения в центробежной форсунке, важнейшие характеристики форсунки с точки зрения практического использования, — расход при заданном перепаде давления на входе и выходе, определяем коэффициентом расхода μ , коэффициентом заполнения сопла ϕ , угол распыла α .

В центробежных форсунках, используемых на практике, течение перечисленные выше величины существенным образом зависят от вязкости жидкости (необходимо учитывать возможность возникновения турбулентности).



Р и с. 1

Тем не менее определенный интерес представляет изучение течения в центробежных форсунках в рамках теории идеальной несжимаемой жидкости. Такое исследование дает основу для понимания наиболее характерных особенностей рассматриваемого явления. Оно позволяет найти в первом приближении основные параметры потока и является, по-видимому, необходимым шагом на пути к созданию достаточ-

надежных инженерных методов расчета реальных центробежных форсунок. Возможно, что для специально сконструированных (пусть и не используемых на практике) и некоторых реальных моделей центробежных форсунок сравнение результатов теории и эксперимента будет иметь смысл без учета вязкости и турбулентности.

В рамках модели идеальной несжимаемой жидкости установившееся (стационарное) осесимметричное течение с закруткой, каковым в первом приближении можно считать течение в центробежной форсунке, описывается следующим уравнением для функции тока, записанным в цилиндрической системе координат в общепринятых обозначениях [3]:

$$(1) \quad \frac{\partial^2 \psi}{\partial z^2} + \frac{\partial^2 \psi}{\partial r^2} - \frac{1}{r} \frac{\partial \psi}{\partial r} = r^2 \frac{dH}{d\psi} - \frac{\Gamma}{4\pi^2} \frac{d\Gamma}{d\psi}$$

где $\bar{H}(\psi)$ и $\Gamma(\psi)$ — произвольные функции от ψ ; $H(\psi)$ — правая часть интеграла Бернулли, являющегося следствием закона сохранения энергии

$$(2) \quad \frac{1}{2} (v_z^2 + v_\phi^2 + v_r^2) + \frac{P}{\rho} = H(\psi);$$

$\Gamma(\psi)$ — циркуляция скорости по жидкому контуру в форме окружности, имеющей центр на оси z , расположенной в плоскости, перпендикулярной к ней, так что

$$(3) \quad v_\phi = \Gamma(\psi)/2\pi r.$$

Ясно, что соотношение (3) выражает закон сохранения момента импульса. Для определения функции $\psi(r, z)$ из уравнения (1) необходимо задать вид функций $H(\psi)$ и $\Gamma(\psi)$. Это можно сделать, предполагая, что они известны на входе. Кроме того, необходимо задать соответствующие граничные условия: условие непротекания на твердых стенках, постоянства давления и кинематическое условие на свободной поверхности вихря.

Известно, однако, что в рассматриваемом течении могут возникнуть астойные зоны с замкнутыми линиями тока, возвратные течения, задание $H(\psi)$ и $\Gamma(\psi)$ в которых требует специального исследования и привлечения дополнительных гипотез. Если такие гипотезы выработаны и $\bar{H}(\psi)$ и $\Gamma(\psi)$ в указанных областях течения заданы, то для определения течения не требуется больше никаких дополнительных гипотез типа ПМР и т. п. В силу нелинейности уравнения (1) задача и при этих условиях может иметь не единственное решение. В таком случае отбор решений для составления с экспериментом производится на основе дополнительного анализа (исследование устойчивости, смены режимов течения, анализ задачи с начальными условиями и т. д.).

Однако такая программа изучения какой-либо конкретной задачи, а исключением некоторых простейших случаев, чрезвычайно сложна и, например, для течения в центробежной форсунке не была реализована. Вместо этого для расчета параметров течения в центробежной форсунке широко применяется подход, основанный (в рамках модели идеальной несжимаемой жидкости) на использовании законов сохранения и ПМР или других подобного характера принципах).

Теория [1, 2] (позже к аналогичным результатам пришли Дж. Тейлор [4] и многие другие исследователи) исходит из следующих предположений. Величины $H(\psi)$ и $\Gamma(\psi)$ не зависят от ψ и являются постоянными:

$$(4) \quad H(\psi) = p_0/\rho, \quad \Gamma(\psi) = \Gamma$$

p_0 — давление (полный напор) на входе в форсунку). Эти предположения, как нетрудно видеть, отвечают предположению о потенциальности течения.

Отсюда вытекает, что осевая составляющая скорости v_z в сопле на этом участке, где поток выравнивается, не зависит от r , т. е. постоянна по сечению потока S_2 . Пусть в этом сечении $v_z = w$. Тогда из закона сохранения массы находим расход

$$(5) \quad Q = \pi R^2 \varphi w.$$

Закон сохранения энергии или эквивалентный ему интеграл Бернулли (2) с учетом закона сохранения момента импульса (3) дает для свободной поверхности в том же сечении

$$(6) \quad \frac{1}{2} w^2 + \frac{\Gamma^2}{8\pi^2 R^2} - \frac{P_0}{\rho}.$$

Конструкция центробежной форсунки приводит к связи между Γ , Q и R :

$$(7) \quad \Gamma = 2AQ/R,$$

где безразмерная величина A — параметр закрутки потока — основная геометрическая характеристика центробежной форсунки, определяемая геометрическими параметрами форсунки [1]: $A = R_0 R / (nr_0^2)$ (n — число входных каналов).

Из (5) и (6), учитывая (1), (2), получаем

$$(8) \quad Q = \mu \pi R^2 \sqrt{\frac{2P_0}{\rho}},$$

$$(9) \quad \mu = \frac{\varphi \sqrt{1-\varphi}}{\sqrt{1-\varphi + A^2 \varphi^2}}$$

(μ — коэффициент расхода).

Отсюда видно, что использование трех законов сохранения (массы энергии и момента импульса) не позволяет найти основные параметры течения, φ остается неопределенной. Использование закона сохранения импульса для форсунки, схема которой приведена на рис. 1, не обеспечивает замыкания, так как распределение давления на стенках форсунки неизвестно.

Гипотеза ПМР состоит в том, что в сопле центробежной форсунки устанавливается полый вихрь такого радиуса, при котором μ для заданного напора p_0 принимает максимальное значение, именно эти размеры вихря отвечают устойчивому режиму течения.

Гипотеза приводит к соотношениям, позволяющим найти μ и φ в зависимости от параметра закрутки A :

$$(10) \quad \mu = \frac{\varphi^{3/2}}{\sqrt{2-\varphi}}, \quad A = \frac{\sqrt{2}(1-\varphi)}{\varphi^{3/2}}.$$

Угол распыла α определяется в [1] как среднее значение отношения азимутальной и осевой составляющих скорости по сечению сопла

$$(11) \quad \operatorname{tg} \frac{\alpha}{2} = \frac{\langle v_\varphi \rangle}{w}, \quad \langle v_\varphi \rangle = \frac{\Gamma}{2\pi R} \frac{2R}{R+R_2}$$

откуда

$$(12) \quad \operatorname{tg} \frac{\alpha}{2} = \frac{2A\varphi}{1 + \sqrt{1-\varphi}}.$$

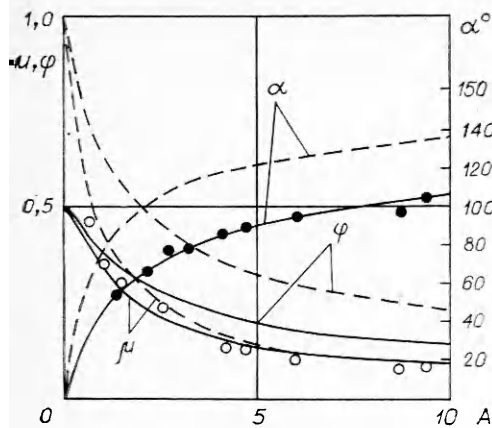
Зависимости μ , φ и α от A , построенные с помощью формул (10) и (12), приведены на рис. 2 (штриховые линии).

В [5] по аналогии с течением тяжелой жидкости через водослив было дано истолкование ПМР как условия равенства скорости в сопле центробежной форсунки максимальной скорости центробежных волн (длинные волны малой амплитуды, распространяющиеся по поверхности полого потенциального вихря в цилиндрическом канале). Скорость центробежных волн на свободной поверхности полого вихря в сопле находится и формулы

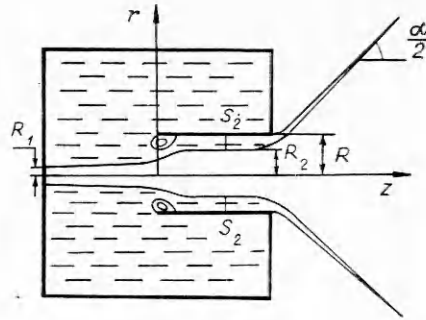
$$(13) \quad w_* = \frac{\Gamma}{2\pi R} \sqrt{\frac{R^2 - R_2^2}{2}}.$$

Из (5) и (13), учитывая (7), получаем

$$(14) \quad s = \frac{w}{w_*} = \frac{\sqrt{2} \sqrt{1-\varphi}}{A \varphi^{3/2}}.$$



Р и с. 2



Р и с. 3

Таким образом, из ПМР следует, что $s = 1$. Эквивалентность ПМР и требования выполнения условия $s = 1$ рассматриваются как обоснование ПМР.

Аргументы, приводимые в обоснование ПМР, неубедительны. В связи с этим он неоднократно подвергался критике [6, 7], которая, однако, не обладает достаточной убедительностью.

Было бы полезно и поучительно рассмотреть пример (пусть в некотором отношении искусственный) течения, в котором основные параметры определяются точно, и сравнить с решением на основе ПМР. Такой пример приводится ниже.

Возьмем центробежную форсунку с насадком (соплом) Борда (рис. 3). Как известно, специфическая форма насадка Борда в случае истечения струи без закрутки позволяет эффективно использовать закон сохранения импульса и определить площадь сечения вытекающей струи.

Нетрудно видеть, что и для течения с закруткой в центробежной форсунке с насадком Борда закон сохранения импульса позволяет получить замкнутую систему уравнений для определения основных параметров течения без привлечения дополнительных гипотез.

В предельном случае, когда торцевые стенки отодвигаются и радиус камеры увеличивается до бесконечности, полученные результаты являются точными.

Предполагается, что течение жидкости потенциально, за исключением области с замкнутыми линиями тока, возникающей на внутреннем зрезе сопла, где структура течения не влияет на дальнейшее рассмотрение.

Применяя закон сохранения импульса к жидкости, ограниченной свободной поверхностью полого вихря, поверхностью S_2 , нормальной к оси течения, расположенной в сечении, где поток выравнивается (в пределе на бесконечности), стенками насадка и камеры закручивания, для z -й компоненты потока импульса получаем

$$(15) \quad 2\pi \int_{R_1}^R p_1(r) r dr - 2\pi \int_{R_2}^R p_2(r) r dr - \rho \pi R^2 \omega^2 = 0.$$

Остальные участки поверхности интегрирования не дают вклада (или взаимно уравновешиваются) в рассматриваемую компоненту потока импульса. В пределе имеем

$$(16) \quad p_1(r) = p_0 - \rho \Gamma^2 / (8\pi^2 r^2);$$

$$(17) \quad p_2(r) = p_0 - \rho \Gamma^2 / (8\pi^2 r^2) - (1/2) \rho \omega^2.$$

Здесь $p_1(r)$ — давление на передней и задней стенках камеры закручивания; $p_2(r)$ — давление в сечении S_2 . Величина R_1 определяется из условия обращения $p_1(R_1)$ в нуль в силу равенства давления нулю на свободной

поверхности, что дает

$$(18) \quad R_1 = \Gamma/2\pi \sqrt{2p_0/\rho}.$$

Выполняя интегрирование в (15) с учетом (16) и (17), находим

$$(19) \quad \frac{1}{2} \left[\frac{\varphi_1}{\mu^2} + A^2 \ln(1 - \varphi_1) \right] = \frac{1}{\varphi} + \frac{1}{2} A^2 \left[\frac{\varphi}{1 - \varphi} + \ln(1 - \varphi) \right],$$

где $\varphi_1 = 1 - (R_1/R)^2$, а из (18) имеем

$$(20) \quad 1 - \varphi_1 = A^2 \mu^2.$$

Таким образом, с помощью законов сохранения массы, импульса, момента импульса, энергии и граничного условия (18) получаем замкнутую систему уравнений (9), (19), (20) для определения μ , φ , φ_1 .

Решение этой системы удобно представить в форме

$$(21) \quad A^2 = \frac{q(2 + \lambda)}{(1 - q)(1 + \lambda)^2}, \quad \lambda = \frac{q \ln q}{1 - q}, \quad \mu = \frac{1 + \lambda}{2 + \lambda} \sqrt{1 - q},$$

$$\varphi = \frac{1 + \lambda}{2 + \lambda}, \quad \varphi_1 = 1 - \frac{q}{2 + \lambda}.$$

Здесь q меняется в пределе $0 < q < 1$. Вычисленные по этим формулам зависимости $\mu(A)$ и $\varphi(A)$ приведены на рис. 2 (сплошные кривые). При изменении A от $A = 0$ до $A \rightarrow \infty$ μ и φ монотонно уменьшаются от $1/2$ до 0 . Угол распыла α также можно найти с помощью закона сохранения импульса. В факеле распыла на больших расстояниях от среза сопла, т. е. при больших r , $v_\varphi \rightarrow 0$, поэтому осевая компонента потока импульса I в факеле дается равенством

$$(22) \quad I = \rho Q \sqrt{\frac{2p_0}{\rho}} \cos \frac{\alpha}{2}.$$

С другой стороны, та же компонента потока импульса через поверхность S_2 в сопле есть

$$(23) \quad I = \rho \pi R^2 \varphi w^2 + \frac{\rho \Gamma^2}{8\pi} \left[\frac{\varphi}{1 - \varphi} + \ln(1 - \varphi) \right].$$

Приравняв (22) и (23), находим

$$\cos \frac{\alpha}{2} = \frac{\sqrt{1 - \varphi}}{\sqrt{1 - \varphi + A^2 \varphi^2}} \left\{ 1 + \frac{1}{2} A^2 \left[\frac{\varphi^2}{1 - \varphi} + \varphi \ln(1 - \varphi) \right] \right\}.$$

Зависимость $\alpha(A)$ представлена на рис. 2 (сплошная кривая).

Таким образом, для центробежной форсунки с насадком Борда с помощью законов сохранения удается определить основные параметры течения однозначно, причем для идеальной жидкости в предельном случае эти результаты являются точными и существенно отличаются от полученных на основе ПМР. Как видно на рис. 2, при больших A результаты для μ совпадают. При больших закрутках (больших A) распределение давления на стенках камеры закручивания в центробежных форсунках с обычными соплами будет приближаться к распределению (16), что позволяет и в этом случае использовать закон сохранения импульса (приближенно, с точностью, увеличивающейся с ростом A) и ожидать, что основные параметры течения будут близки к величинам, вычисленным для форсунки с насадком Борда. Конечно, оценка точности приближения, получаемого при таком подходе, требует специального исследования, однако сравнение с экспериментом не лишено смысла, по крайней мере для больших A .

На рис. 2 приведены экспериментальные данные [7] для форсунки с $R = 0,35$ см, длиной сопла $0,5$ см, $p_0 = 3 \cdot 10^6$ Па (светлые кружки соответствуют μ , темные — α). Видно, что для форсунки с такими параметрами экспериментальные точки неплохо согласуются с результатами расче-

та, полученными в данной работе, однако для форсунок с меньшим R и при меньших p_0 имеется значительное различие, которое, по-видимому, можно объяснить влиянием вязкости.

Величина s , определяемая формулой (14), равная по ПМР единице, меняется при изменении A от $A = 0$ до $A \rightarrow \infty$ от $s \rightarrow \infty$ до $s = 2$, т. е. поток сверхкритический, что и приводит к указанному выше различию для φ , несмотря на близость значений коэффициентов расхода при больших A .

Таким образом, главное утверждение ПМР, что поток в сопле должен быть точно критическим, не согласуется с точным решением. Это обстоятельство дает основание для сомнения в надежности результатов, получаемых с его помощью.

ЛИТЕРАТУРА

1. Абрамович Г. Н. Теория форсунки с центробежным распылом жидкости.— М.: ЦАГИ, 1943.
2. Абрамович Г. Н. Теория центробежной форсунки // Пром. аэродинамика.— М.: ЦАГИ, 1944.
3. Бэтчелор Дж. Введение в динамику жидкости.— М.: Мир, 1973.
4. Taylor G. The mechanism of swirl atomizers // Proc. 7th Intern. Congr. for Appl. Mech.— L., 1948.— V. 2.
5. Новиков П. И. Об одном случае движения несжимаемой жидкости в цилиндрическом канале // Тр. Военно-Морской Академии им. К. Е. Ворошилова.— Л., 1945.
6. Гольдштик М. А. Вихревые потоки.— Новосибирск: Наука, 1981.
7. Хавкин Ю. И. Центробежные форсунки.— Л.: Машиностроение, 1976.

Поступила 8/VIII 1988 г.

УДК 532.526; 551.465

ДИНАМИКА ОДНОРОДНОГО ТУРБУЛЕНТНОГО СЛОЯ В СТРАТИФИЦИРОВАННОЙ ЖИДКОСТИ

В. Ю. Ляпидевский

(Новосибирск)

При больших числах Рейнольдса течение несжимаемой стратифицированной по плотности жидкости разбивается на области турбулентного движения, перемежающиеся с областями ламинарного течения [1]. Турбулентное течение возникает под воздействием сдвиговой неустойчивости или в результате воздействия граничных условий. Одна из проблем описания таких течений состоит в параметризации процесса вовлечения окружающей жидкости в турбулентный слой [2, 3]. Принципиальный момент здесь — влияние стратификации на скорость вовлечения. В зависимости от соотношения сил плавучести и инерции преобладает тот или иной механизм развития неустойчивости, приводящий к перемешиванию [2]. При этом скорость вовлечения может меняться в десятки раз. Так как заранее неизвестно, в какой области течения реализуется данный тип неустойчивости, то представляет интерес построение модели стратифицированного течения, единообразно описывающей процесс вовлечения.

Один из возможных подходов к решению этой проблемы демонстрируется ниже на примере задачи об эволюции турбулентного слоя в покоящейся жидкости другой плотности. К классу таких течений относятся затопленные струи, гравитационные течения, заглубление верхнего однородного слоя в океане под действием ветра [1]. В построенной модели должны найти отражение такие экспериментально изученные свойства течений, как возможность управления процессом вовлечения изменением условий вниз по потоку, резкое уменьшение скорости вовлечения при переходе от сверхкритического к докритическому течению, а также явление возбуждения коротких внутренних волн на границе турбулентного слоя в течениях со сдвигом скорости [2].

В данной работе эти явления рассматриваются на основе уравнений движения слоя, представляющих собой вариант уравнений «мелкой воды» с учетом перемешивания. Они выведены из законов сохранения аналогично [4]. Скорость вовлечения жидкости в турбулентный слой полагается пропорциональной скорости «больших вихрей», сравнимых по масштабу с толщиной слоя [2, 5]. Анализ бегущих волн рассматриваемой системы показывает, что решения типа солитон или прыжок-волна описывают наблюдаемую в натуральных условиях генерацию короткопериодных внутренних волн на гребне более длинных (приливных) волн [6, 7].